

Fe-38 at.% Al계 금속간화합물의 표면특성에 미치는 합금원소의 영향

최 한 철*

조선대학교 치과대학 치과재료학교실 및 생체재료나노계면활성화센터

Effects of Alloying Elements on the Surface Characteristics of Fe-38Al Intermetallic Compounds

Han-Cheol Choe*

Department of Dental Materials & Research Center of Nano-Interface Activation for Biomaterials,
College of Dentistry, Chosun University, Gwangju 501-759, South Korea

(Received 19 February 2004 ; accepted 8 April 2004)

Abstract

Effects of alloying elements on the surface characteristics of Fe-38Al intermetallic compounds were investigated using potentiostat. The specimens were casted by the vacuum arc melting. The subsequent homogenization and the stabilization led to the homogeneous DO_3 structure of the specimen. After the corrosion tests, the surface of the tested specimen was observed by the optical microscopy and scanning electron microscopy(SEM). For Fe-38 at.% Al intermetallic compound, the addition of Cr and Mo proved to be beneficial in decreasing the grain boundary attack by decreasing the active current density. Addition of B and Nb resulted in a higher active current density and also a higher passive current density. These results indicated the role of Cr and Mo in improving the pitting corrosion resistance of Fe-38 at.%Al intermetallic compound. B and Nb addition to Fe-38 at.%Al accelerated the granular corrosion. Fe-38 at.%Al containing Cr and Mo showed remarkably improved pitting corrosion resistance in comparison with B and Nb addition to Fe-38 at.%Al.

Keywords : Fe-38 at.%Al Intermetallic Compound, Surface Characteristics, DO_3 Structure, Pitting Corrosion

1. 서 론

Fe-Al계 금속간화합물은 낮은 재료비, 저비중 등 유용한 성질을 가지며 산화알루미늄 보호피막 때문에 고온에서 내산화성 및 내황화성이 우수¹⁻³⁾하여 최근 연구가 활발히 진행되고 있다. 최근 연구 동향을 보면 가공에 필요한 연성이 합금첨가 등에 의해 개선될 수 있으며 DO_3 구조를 갖는 Fe_3Al 금속간화합물에 Al 함유량을 25에서 30 at.%로 증가시키고 2-6 at.%까지 Cr을 첨가⁴⁻⁶⁾하면 환경취화억제 및 연성을 향상시킬 수 있으며 Mo, Nb등의 합금원소첨가로 이들 성질을 더욱 개선할 수 있다는 보고^{7,8)}가 있다. 또 수용액에서 전기화학적 특성도 이들 합금원소가 첨가됨으로서 Mo와 Cr같은 원소는

크게 개선된다는 사실을 본 저자들이 확인⁹⁻¹²⁾하였으나 이는 거의 Fe_3Al 에 관한 것이 대부분이다. 또 Fe-Al계 금속간화합물 중에서 B2구조를 갖는 FeAl은 550°C를 기준으로 Fe_3Al 로 구조가 바뀌는데 파괴양상이 공기와 물에서는 입내파괴를 하고 산소분위기에서는 입계파괴를 하는 반면 Fe_3Al 은 모든 분위기에서 입내벽계파괴를 하는 차이점¹³⁾을 보인다. 이러한 파괴양상의 차이점의 존재는 결정구조의 차이이며 전기화학적 특성에서도 영향을 미칠 것으로 생각된다. 따라서 $DO_3 \leftrightarrow B2$ 천이과정 중에 형성되는 FeAl이나 Fe에 38 at.%Al이 첨가 시에 형성되는 FeAl의 전기화학적 성질에 미치는 합금원소의 영향에 대하여 조사할 필요가 있다.

따라서 본 연구에서는 기 발표한 연구⁹⁻¹²⁾ 결과를 토대로 Fe-38 at.%Al 금속간화합물을 기본조성으로 하여 전해철과 고순도 Al을 준비하고 여기에 연성

*Corresponding author. E-mail : hcchoe@chosun.ac.kr

개선과 환경취화를 억제시키기 위해 Cr을 6 at.%첨가하고 Mo, B 및 Nb등을 여러 가지 비율로 첨가한 후 Ar분위기 아-크 용해로에서 용해하여 시료를 제조하고 1000°C Ar분위기하에서 7일간 균질화열처리한 후 H_2SO_4 및 HCl수용액등에서 전기화학적 방법에 의해 부식거동을 조사하였다.

2. 실험방법

본 연구에서 사용한 시편의 화학적 조성은 표 1과 같으며 원재료로서 Fe는 수소분위기하에서 환원처리한 고순도 전해, Al은 wire상의 고순도 8Al(99.97%Al)과 Cr, Nb, Mo 및 B등을 표 1과 같은 원자조성으로 칭량하여 진공 아-크 용해용 시료로 사용하였으며 용해는 아-크 용해로를 사용하여 Ar분위기하에서 용해하였다. 용해하여 제조한 시료는 SiC 발열체 관상로의 Inconel tube내에 시편을 장입

Table 1. Chemical composition of Fe-38Al system

Samples	Chemical Composition (at.%)					
	Al	Cr	Mo	Nb	B	Fe
1. FA	38	-	-	-	-	bal.
2. FAC	38	6	-	-	-	bal.
3. FACM5	38	6	0.5	-	-	bal.
4. FACM10	38	6	1.0	-	-	bal.
5. FACM20	38	6	2.0	-	-	bal.
6. FACN5	38	6	-	0.5	-	bal.
7. FACN10	38	6	-	1.0	-	bal.
8. FACN20	38	6	-	2.0	-	bal.
9. FACB1	38	6	-	-	0.1	bal.
10. FACB5	38	6	-	-	0.5	bal.
11. FACB10	38	6	-	-	1.0	bal.

하고 1000°C 고순도 건조 Ar분위기하에서 7일간 균질화열처리를 하여 B2구조¹²⁾를 얻었으며 열처리를 완료한 시편은 절단기를 사용하여 100 mm²의 크기로 절단하여 부식시험용 시편으로 사용하였다.

전기화학적 방법에 의한 부식실험을 하기 위하여 Fe-38Al합금강을 100 mm²의 크기로 가공한 후 600 grit의 SiC연마지에 연마하여 작업전극으로 사용하였다. 본 연구에서 사용된 기준전극은 포화칼로멜전극(SCE: saturated calomel electrode)을, 보조전극은 고밀도탄소전극을 각각 사용하였으며 각 전극은 ASTM¹⁴⁾에 따라 위치시켰다. 또 실험에 사용한 각 전해액은 고순도 Ar가스를 사용하여 용존산소를 충분히 제거하였으며 실험은 25°C의 일정온도에서 수행하였다.

시험재료의 양극분극특성에 미치는 합금원소의 영향은 0.1 M H_2SO_4 용액에서 동전위법에 의해 75 mV/min의 주사속도로 분극곡선을 측정하여 조사하였고 공식거동에 미치는 합금원소의 영향은 0.1 M HCl에서 동일한 주사속도로 순환동전위법(CPPT: cyclic potentiodynamic polarization test)을 행하여 조사하였고 부식실험이 끝난 시편들의 부식형태는 광학현미경, 주사전자현미경을 사용하여 관찰하였다.

3. 결과 및 고찰

3.1 Fe-38Al의 양극분극특성에 미치는 합금원소의 영향

그림 1은 0.1 M H_2SO_4 용액에서 Fe-38Al과 Fe-38Al에 6 at.% Cr함량을 첨가하여 동전위법으로 측정한 분극곡선이다. 여기에서 보면 Fe-38Al의 분극곡선은 부식전위가 -600 mV로 Fe-38Al-6Cr의 -520

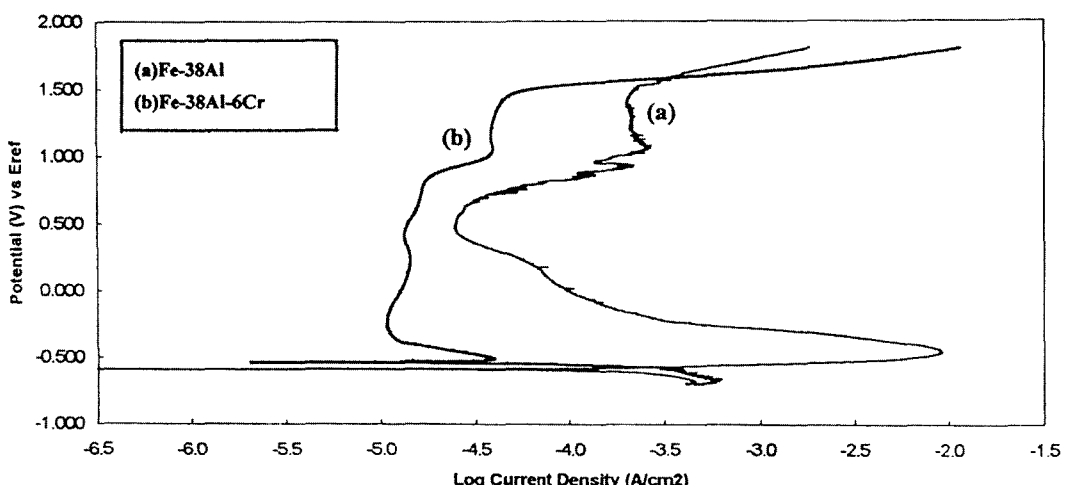


Fig. 1. Anodic polarization curves for Fe-38Al and Fe-38Al-6Cr samples in 0.1 M H_2SO_4 solution at 25°C.

mV에 비해 낮고 활성태 전류밀도가 $1.5 \times 10^{-2} \text{ A/cm}^2$ 로 역시 Fe-38Al-6Cr의 $2.0 \times 10^{-5} \text{ A/cm}^2$ 보다 크게 증가하였음을 알 수 있다. 또 부동태영역의 전류밀도도 Cr이 첨가된 경우에 비하여 큰 값을 보인다. 이러한 분극특성은 DO_3 를 갖는 Fe-25Al계의 경우와 같은 형태¹²⁾를 하나 Fe-38Al의 경우가 활성태전류밀도가 크게 나타나는데 이는 DO_3 구조보다 B2구조가 내식성이 낮다는 보고와도 같은 경향¹⁵⁾이다. 또 Fe-38Al에서도 넓은 부동태영역을 나타낸 이유는 Fe_2O_3 , Al_2O_3 및 Cr_2O_3 의 광막이 표면에 형성¹⁵⁾되었기 때문으로 생각되며 Cr이 첨가되지 않은 경우는 표면에 형성된 Fe_2O_3 광막이 500 mV부근에서 파괴되기 시작하여 전류밀도가 증가되다가 1000 mV 이상의 부동태영역에서 전류밀도가 일정한 값을 보여 스테인리스강의 경우⁹⁾보다 넓은 영역을 나타내

는데 이도 Al에 의한 $\text{Al}_2\text{O}_3 \cdot 3\text{H}_2\text{O}$ 의 형성¹⁶⁾ 때문으로 생각된다.

그림 2는 0.1 M H_2SO_4 용액에서 Fe-38Al-6Cr에 Mo함량을 0.5-2.0 at.%까지 첨가하여 동전위법으로 측정한 분극곡선이다. 여기에서 보면 Fe-38Al에 Mo을 첨가하면 그림 1의 경우에 비해 부식전위는 -250에서 10 mV의 범위로 높아지지만 Mo함량이 증가됨에 따라서는 -250 mV까지 감소함을 보여 스테인리스강에 미치는 합금원소의 영향과 같은 경향^{17,18)}을 보인다. 또한 활성태영역의 전류밀도변화가 예리하지 않아 바로 부동태광막을 형성함을 알 수 있다. 그러나 부동태영역에서 전류밀도가 Mo가 첨가되지 않는 것에 비해 증가하는 경향이 있는데 확실한 기구는 규명되지 않고 있으나 첨가된 Mo가 0.5 M H_2SO_4 용액에서 음이온선택성을 띠어 탈수소

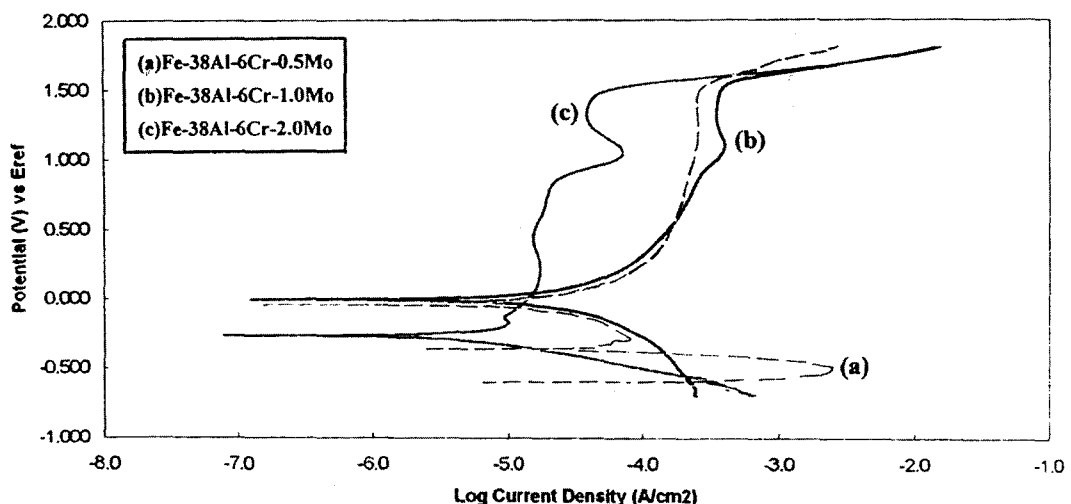


Fig. 2. Anodic polarization curves for Fe-38Al-6Cr-0.5Mo, Fe-38Al-6Cr-1.0Mo, and Fe-38Al-6Cr-2.0Mo samples in 0.1 M H_2SO_4 solution at 25°C.

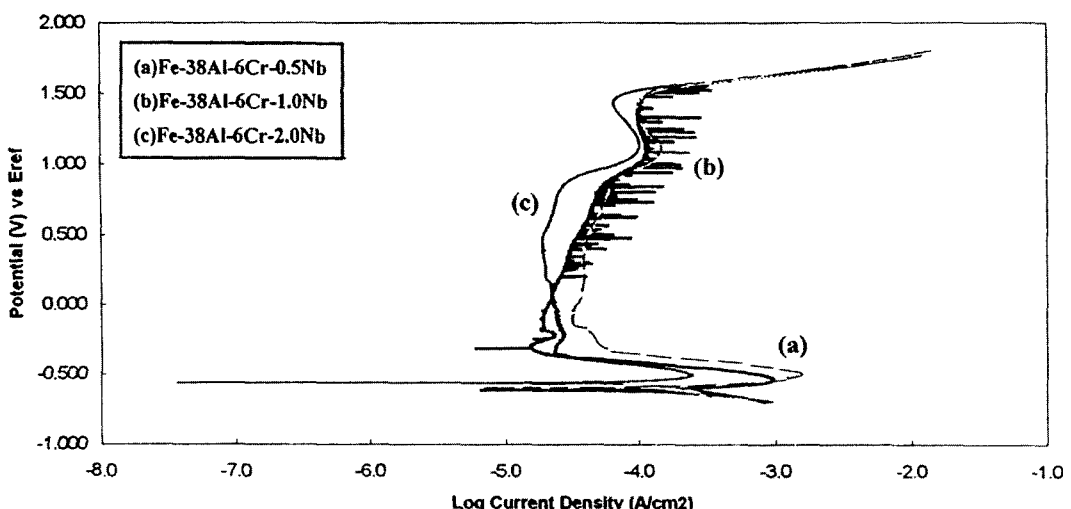


Fig. 3. Anodic polarization curves for Fe-38Al-6Cr-0.5Nb, Fe-38Al-6Cr-1.0Nb, and Fe-38Al-6Cr-2.0Nb samples in 0.1 M H_2SO_4 solution at 25°C.

화반응의 억제로 인한 $\text{Cr}_2\text{O}_3/\text{CrOOH}$ 비 감소때문으로 여기고 있다¹¹⁾.

그림 3은 0.1 M H_2SO_4 용액에서 Fe-38Al-6Cr에 Nb함량을 0.5-2.0 at.%첨가하여 동전위법으로 측정한 분극거동은 Fe-25%Al에 비하여¹²⁾ Nb가 첨가됨에 따라 큰 변화는 없지만 활성태 전류밀도가 Fe-25%Al에서 증가되었지만 약간 그림 3에서는 약간 감소되는 경향을 보였으나 부동태영역은 2.0 at.%Nb가 첨가된 경우에 가장 좁게 나타났다. 즉 황산용액에서 핏트 발생전위가 낮다고 할 수 있다. 이는 결정립의 미세화와 입계와 입내에서 Fe_2Nb 의 석출¹²⁾로 표면에 형성된 괴막이 쉽게 파괴될 수 있다는 의미이다.

그림 4는 Fe-38Al-6Cr에 보론을 0.1-1.0 at.% 첨가하면 Nb가 첨가된 경우의 -560 mV에서 -645 mV

로 부식전위가 크게 낮아지고 활성태전류밀도와 부동태전류밀도가 증가함을 알 수 있다. 이는 결정립의 미세화로 SO_4^{2-} 에 의한 침식될수 있는 입계의 면적이 증가하고 열처리과정에서 Cr_2B 나 $\text{Cr}_{23}(\text{C},\text{B})_6$ 등¹⁹⁾과 같은 석출물 때문에 전기화학반응을 쉽게 할 수 있는 자리로 되어 그 주위가 쉽게 부식되었기 때문으로 생각된다. 여기서 특이한 것은 보론함량이 0.1에서 1.0 at.%로 증가함에 따라 부동태천이 영역에서 다른 합금원소첨가에 비하여 전류밀도가 크게 증가하며 1000 mV에서부터 크게 증가함을 보인다. 이는 앞의 Nb가 2.0 at.%첨가된 경우와 같이 설명할 수 있다. 즉 결정입내와 입계에 다량의 M_2B 를 석출하기 때문이다.

그림 5는 0.1 M H_2SO_4 용액에서 Fe-38Al-6Cr의 분극거동에 미치는 합금원소의 영향을 나타낸 것으로

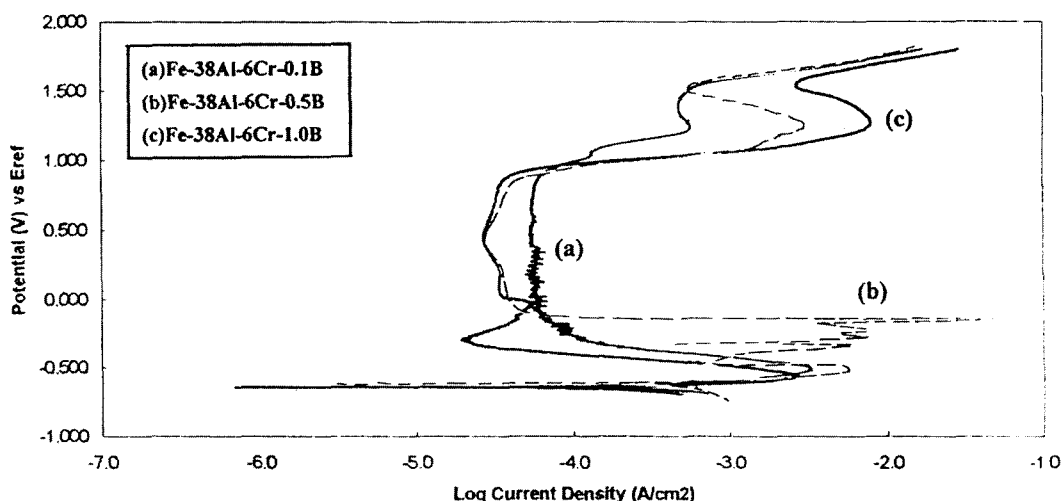


Fig. 4. Anodic polarization curves for Fe-38Al-6Cr-0.1B, Fe-38Al-6Cr-0.5B, and Fe-38Al-6Cr-1.0B samples in 0.1 M H_2SO_4 solution at 25°C.

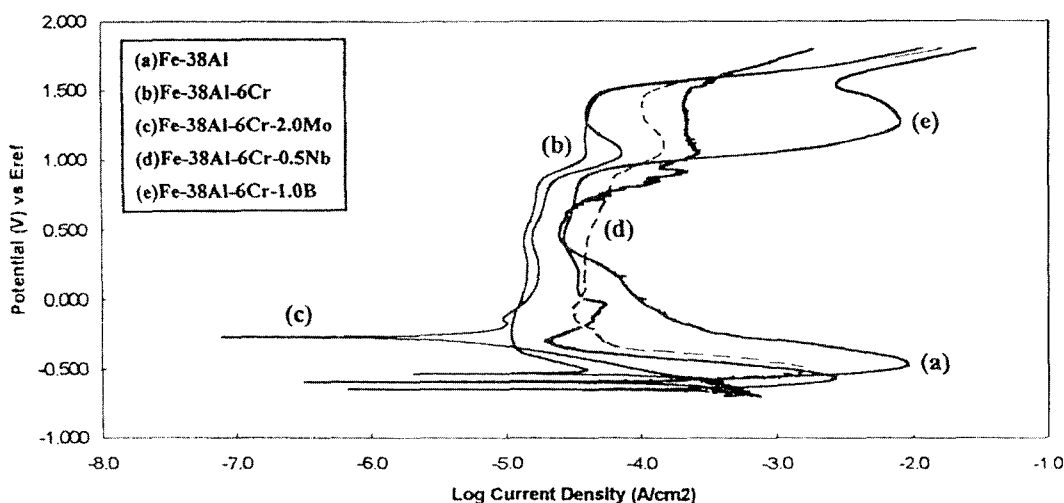


Fig. 5. Anodic polarization curves for Fe-38Al, Fe-38Al-6Cr, Fe-38Al-6Cr-2.0Mo, Fe-38Al-6Cr-0.5Nb, and Fe-38Al-6Cr-1.0B samples in 0.1 M H_2SO_4 solution at 25°C.

Table 2. Corrosion(E_{cor}), critical current density for passivation(I_a) and critical current density for passive region(I_p) of Fe-38Al intermetallic compounds with alloying elements after anodic polarization measurement in 0.1 M H_2SO_4 solution

Intermetallic compounds	E_{cor} (mV vs. SCE)	I_a (A/cm ²)	I_p (A/cm ²)
FA	-600	1.5×10^{-2}	2.7×10^{-5}
FAC	-520	2.0×10^{-5}	1.1×10^{-5}
FACM5	10	N.D.	1.5×10^{-4}
FACM10	-10	N.D.	2.0×10^{-4}
FACM20	-250	1.1×10^{-5}	2.0×10^{-5}
FACN5	-580	1.5×10^{-3}	3.0×10^{-5}
FACN10	-600	9.5×10^{-4}	1.2×10^{-5}
FACN20	-560	2.0×10^{-4}	1.5×10^{-5}
FACB1	-645	3.0×10^{-3}	6.0×10^{-5}
FACB5	-640	6.0×10^{-3}	3.0×10^{-5}
FACB10	-645	2.5×10^{-3}	3.0×10^{-5}

내식성은 Fe-38Al가 가장 낮고 Fe-38Al-Mo가 가장 우수한 특성을 보인다.

표 2는 0.1 M H_2SO_4 용액에서 측정한 분극곡선으로부터 얻어진 데이터를 종합정리하여 나타낸 것이다. 부식전위는 Mo가 첨가된 경우가 10 mV로 가장 높고 B가 첨가된 경우가 -645 mV로 가장 낮으며 활성태전류밀도도 같은 경향을 보이고 있다. 또 B2구조를 갖는 Fe-38Al계의 부식전위는 DO_3 구조를 갖는 Fe-25Al계 합금의 경우¹²⁾와 비교하면 Mo첨가된 경우를 제외하고 약 100 mV정도 전반적으로 낮게 나타남을 보여 B2구조가 DO_3 구조보다 내식성이 낮다는 보고¹⁵⁾와 잘 일치함을 알 수 있다.

3.2 Fe-38Al의 공식특성에 미치는 합금원소의 영향

그림 6은 0.1 M HCl용액에서 공식특성을 조사하기 위하여 Fe-38Al와 Fe-38Al-6Cr시편의 CPPT곡선이다. 여기에서 보면 공식전위는 Fe-38Al의 -180 mV에서 Cr이 첨가된 Fe-38Al-6Cr경우인 -50 mV로 크게 증가함을 보여 Cr이 부동태피막형성에 기여하여 Cl^- 의 침투를 억제함으로써 공식에 대한 저항성을 증가시키기 때문이다. 또한 부동태영역의 전류밀도가 크게 감소하고 부식전위가 -600 mV에서 -300 mV로 크게 증가함을 보인다. 이는 0.5 M HCl에서 공식시험된 Fe-28Al-6Cr과 같은 경향¹⁰⁾이며 DO_3 구조임에도 B2인 Fe-38Al-6Cr의 -50 mV보다 공식전위가 -70 mV로 낮은 이유는 Cl^- 의 농도차때문으로 생각된다.

그림 7은 0.1 M HCl용액에서 Fe-38Al-6Cr에 Mo함량을 0.5-2.0 at.%첨가하여 측정한 CPPT곡선이다. 여기에서 보면 Mo가 첨가됨으로써 공식전위가 크게 증가하고 분극곡선의 전체적인 이동이 위로, 좌로 이동하였음을 그림 6과 비교하여 알 수 있으며 재부동태화전위가 Mo를 첨가하지 않은 Fe-38Al-6Cr의 경우 -340 mV에서 Mo가 2.0 at.%첨가된 경우 -180 mV까지 증가하여 공식에 대한 저항성이 강함을 알 수 있다. 공식전위와 부식전위의 차($E_{pit} - E_{cor}$)도 Mo가 첨가되면 520 mV까지 높은 값을 보이며 Mo가 2.0 at.%첨가됨으로써 그 차는 작아지는데 이는 상대적으로 부식전위가 크게 증가하였기 때문이다. 이와 같이 내식성이 Mo의 첨가로 크게 향상된 이유는 합금된 Mo가 MoO_4^{2-} 로 용출되어 Cl^- 에 대해 강한 부식억제효과를 내기 때문이고 MoO_3 등의 보호막을 표면에 형성하여 내식성을 크게 향상시키는 효과 때문이다¹⁰⁾.

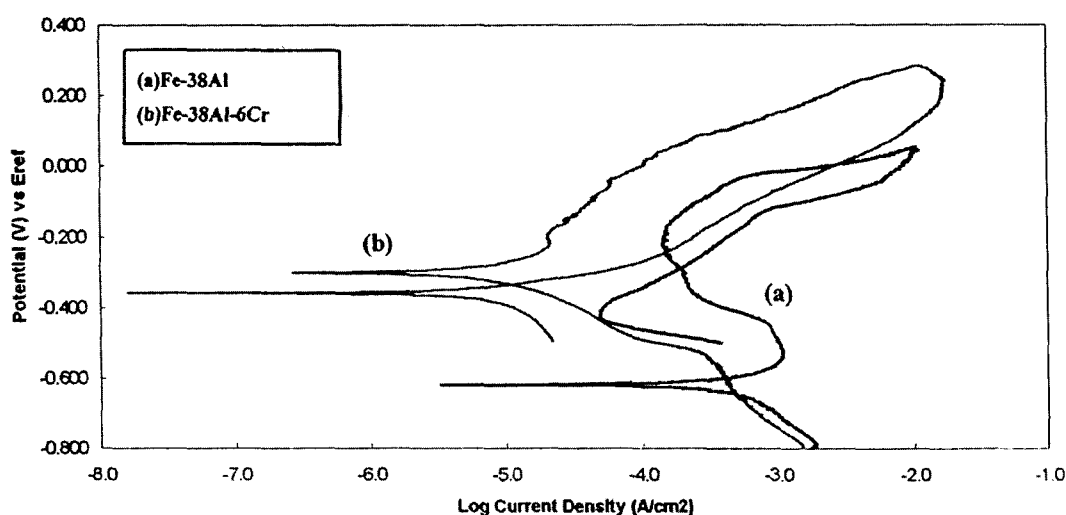


Fig. 6. Cyclic potentiodynamic polarization curves for Fe-38Al and Fe-38Al-6Cr samples in 0.1 M HCl solution at 25°C.

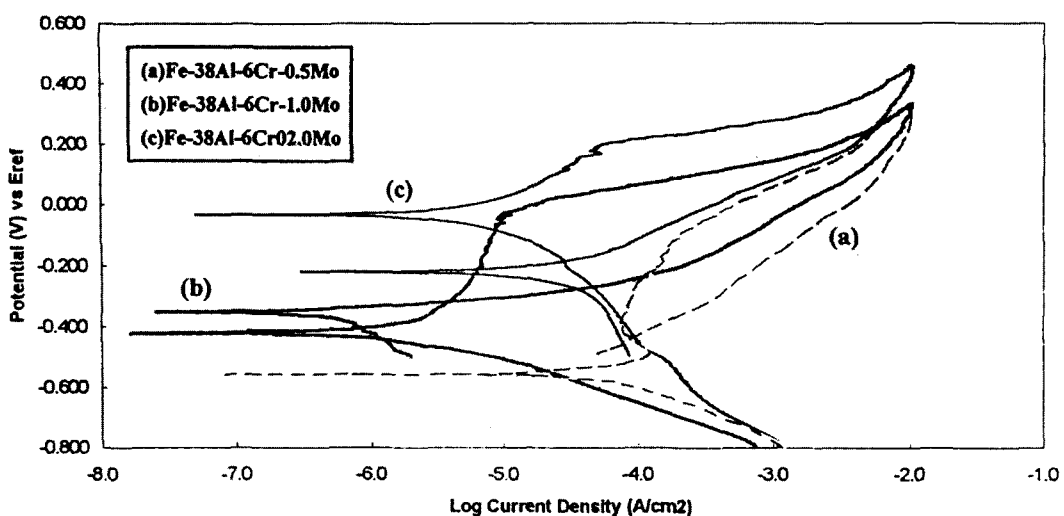


Fig. 7. Cyclic potentiodynamic polarization curves for Fe-38Al-6Cr-0.5Mo, Fe-38Al-6Cr-1.0Mo, and Fe-38Al-6Cr-2.0Mo samples in 0.1 M HCl solution at 25°C.

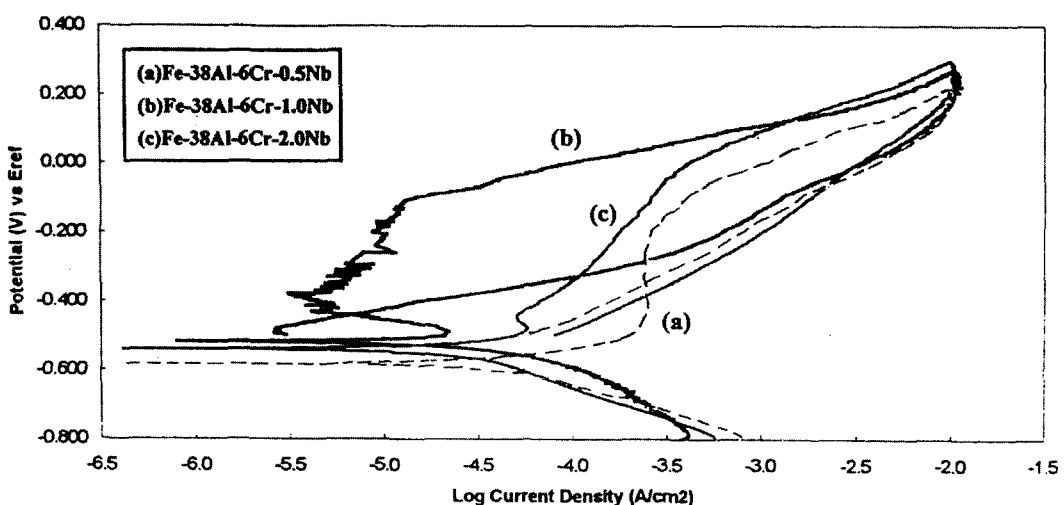


Fig. 8. Cyclic potentiodynamic polarization curves for Fe-38Al-6Cr-0.5Nb, Fe-38Al-6Cr-1.0Nb, and Fe-38Al-6Cr-2.0Nb samples in 0.1 M HCl solution at 25°C.

그림 8은 0.1 M HCl용액에서 Fe-38Al-6Cr에 Nb를 0.5-2.0 at.%첨가하여 측정한 CPPT곡선이다. Nb가 첨가되면 공식전위가 Mo가 첨가된 경우의 200 mV에 비해 크게 감소된 -110 mV를 나타내 공식에 대한 저항성이 감소함을 알 수 있으며 이는 재료 내에 형성된 Fe₂Nb등의 석출물의 존재¹²⁾로 인하여 그 부위가 Cl⁻에 의하여 쉽게 국부적 또는 틈부식과 같은 기구에 의해 침식한 것으로 생각된다. 이런 이유로 부식전위와 재부동태화전위도 감소함을 보이며 또한 전류밀도가 Mo가 첨가된 경우에 비해 우측으로 이동된 양상을 보인다. 공식전위와 부식전위의 차($E_{\text{piti}} - E_{\text{cor}}$)는 Nb의 첨가량이 증가함에 따라 500 mV에서 400 mV까지 감소함을 보여 내공식성이 감소함을 알 수 있다.

그림 9는 0.1 M HCl용액에서 공식특성을 조사하기 위하여 Fe-38Al-6Cr에 보론함량을 0.1-1.0 at.%첨가하여 측정한 CPPT곡선이다. 보론이 0.1 at.%첨가되었을 때의 공식전위가 -120 mV에서 1.0at.%첨가되면 -170 mV로 감소됨을 알 수 있는데 이는 보론이 증가할수록 결정입자가 미세화하고 따라서 (Cr, Fe, Al)₂₃B 또는 M₂B²⁰⁾등의 2차상이 석출된 자리가 증가되어 공식저항이 감소되며 공식전위와 부식전위의 차가 440 mV에서 230 mV로 감소하는 것에서 알 수 있다. 또한 재부동태화 전위가 감소하지만 보론이 첨가되어도 Fe-38Al보다는 높게 나타나 석출물이 많이 존재함에도 공식에 대한 저항을 유지한다는 것을 알 수 있는데 이는 보론이 B₄O₇²⁻를 형성하여 Cl⁻에 대한 공식억제제로 작용하기 때문으

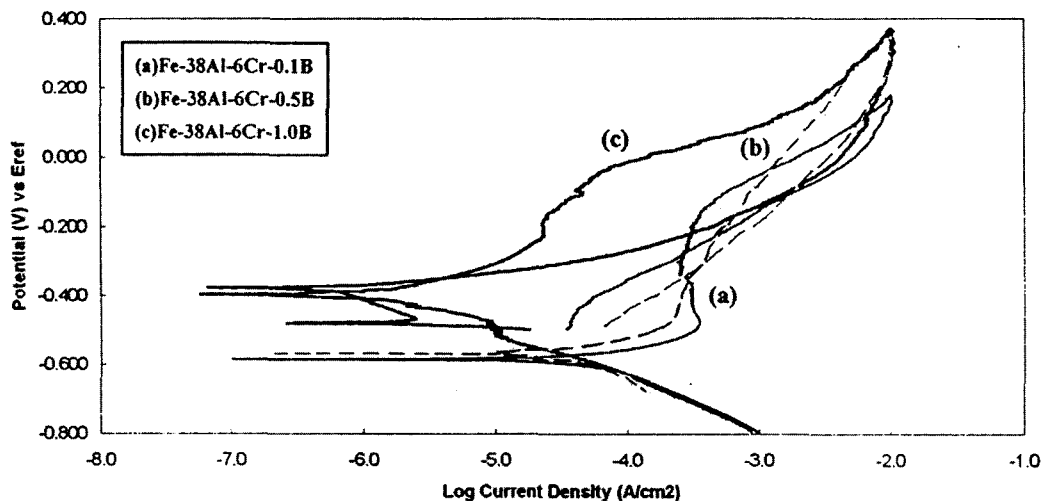


Fig. 9. Cyclic potentiodynamic polarization curves for Fe-38Al-6Cr-0.1B, Fe-38Al-6Cr-0.5B, and Fe-38Al-6Cr-1.0B samples in 0.1 M HCl solution at 25°C.

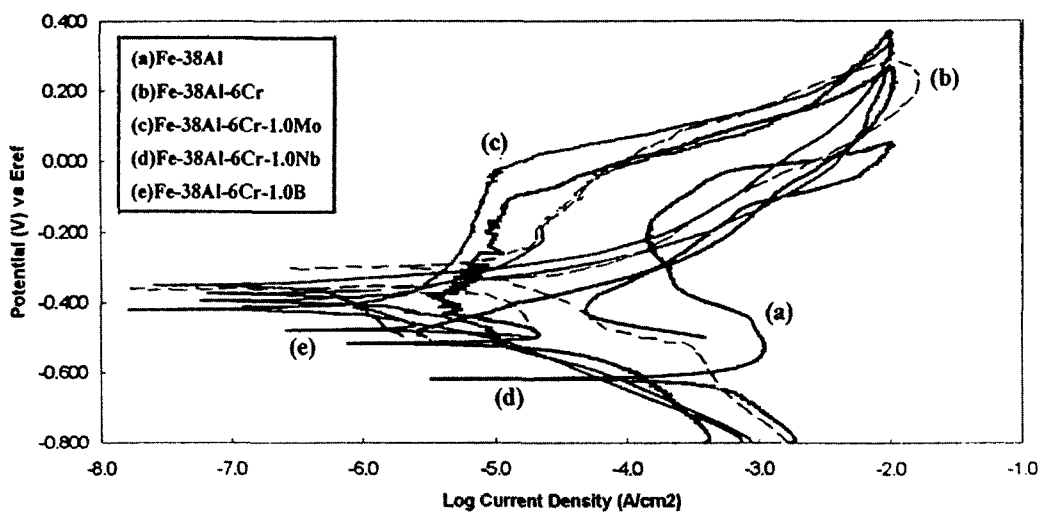


Fig. 10. Cyclic potentiodynamic polarization curves for Fe-38Al, Fe-38Al-6Cr, Fe-38Al-6Cr-1.0Mo, Fe-38Al-6Cr-1.0Nb, and Fe-38Al-6Cr-1.0B samples in 0.1 M HCl solution at 25°C.

로 생각할 수 있다¹¹⁾.

그림 10은 0.1M HCl용액에서 Fe-38Al-6Cr의 공식거동에 미치는 합금원소의 영향을 나타낸 것으로 내공식성은 Fe-38Al-6Cr-1.0Nb와 Fe-38Al-6Cr-1.0B가 가장 낮고 Fe-38Al-Mo가 가장 우수한 특성을 보인다.

표 3은 0.1 M HCl용액에서 측정한 CPPT곡선으로부터 얻어진 데이터를 정리한 것이다. 공식전위는 Fe-38Al이 가장 낮고 Fe-38Al-6Cr-2.0Mo가 가장 높게 나타나 공식저항이 가장 강함을 알 수 있다.

3.3 부식시험 후 광학현미경과 SEM에 의한 표면관찰

그림 11은 0.1 M HCl용액에서 공식특성을 조사하기 위하여 Fe-38Al-6Cr(a)과 Fe-38Al-6Cr-2.0Mo(b)시편의 CPPT시험 후 촬영한 SEM사진이다. 전

Table 3. Corrosion, pitting, and repassivation potential values of Fe-38Al intermetallics with alloying elements after CPPT in 0.1 M HCl solution

Intermetallic compounds	E _{pit} (mV vs. SCE)	E _{rep} (mV vs. SCE)	E _{corr} (mV vs. SCE)	E _{pit} - E _{corr} (mV vs. SCE)
FA	-180	-300	-610	430
FAC	-50	-340	-300	250
FACM5	-40	-440	-560	520
FACM10	50	-300	-410	460
FACM20	200	-180	-30	230
FACN5	-80	-350	-580	500
FACN10	-100	-440	-540	440
FACN20	-110	-530	-510	400
FACB1	-120	-290	-560	440
FACB5	-140	-310	-560	420
FACB10	-170	-340	-400	230

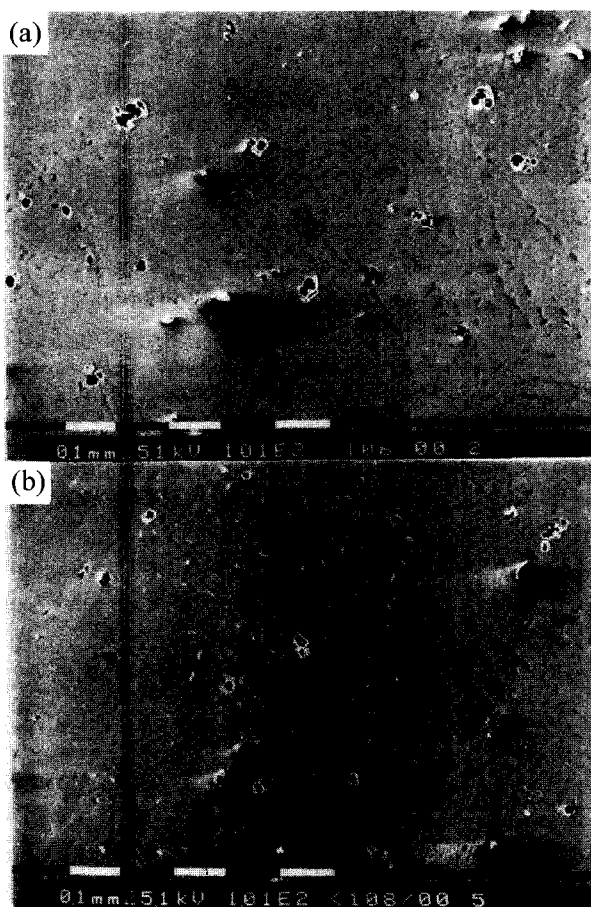


Fig. 11. SEM micrographs showing corrosion behavior of Fe-38Al system after CPPT in 0.1 M HCl solution at 25°C (a) Fe-38Al-6Cr (b) Fe-38Al-6Cr-2.0Mo.

반적으로 DO_3 구조인 Fe-25Al-6Cr 또는 Fe-28Al-6Cr에 비해¹¹⁾ 펫트의 수와 크기가 크게 증가하며 Mo가 첨가된 Fe-38Al-6Cr-2.0Mo시편도 거의 펫트가 없는 Fe-28Al-6Cr-1.0Mo시편¹¹⁾보다 훨씬 많은 펫트가 관찰되어 B2구조가 Cl^- 을 함유한 분위기에서도 약함을 알 수 있다. 그러나 Mo가 첨가되면 펫트 수와 크기가 크게 감소함을 보이는데 시편 표면에 MoO_2Cl , MoO_2 및 MoO_3 등의 화합물¹¹⁾을 형성하기 때문이며 Cl^- 에 대한 공식억제 효과가 크게 나타났기 때문이다.

그림 12는 Nb가 첨가된 Fe-38Al-6Cr-2.0Nb시편(a)과 보론이 첨가된 Fe-38Al-6Cr-1.0B시편(b)의 표면을 관찰한 것으로 (a), (b) 모두 다 입계를 따라 석출물이 존재한 부위가 부식된 형태를 보이며 특히 Nb가 첨가된 경우는 결정방향을 따라 부식된 모습도 보인다. 보론이 첨가된 경우는 입계를 따라 작은 펫트가 다수 관찰되며 큰 펫트도 입계주위에서 주로 관찰되어 위에서 고찰한 $(\text{Cr}, \text{Fe}, \text{Al})_{23}\text{B}$ 또는 M_2B 등의 석출물 존재로 인해 그 부위가 쉽게 침식

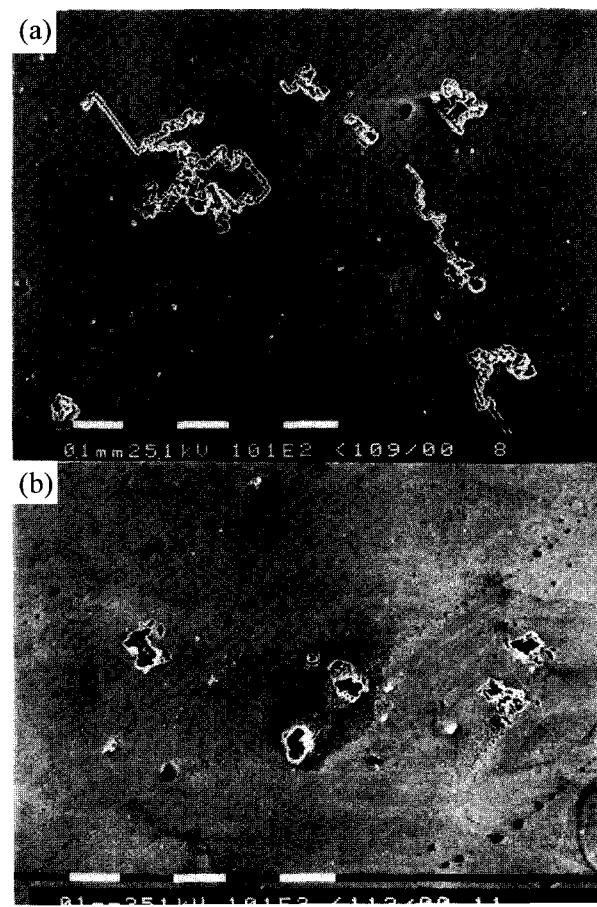


Fig. 12. SEM micrographs showing corrosion behavior of Fe-38Al system after CPPT in 0.1 M HCl solution at 25°C (a) Fe-38Al-6Cr-2.0Nb (b) Fe-38Al-6Cr-1.0B.

되었음을 확인할 수 있다.

4. 결 론

Fe-38Al 합금의 표면특성에 미치는 Cr, Mo, Nb 및 B의 영향을 조사하기 위하여 H_2SO_4 및 HCl 용액에서 전기화학적방법과 전자현미경으로 조사하여 다음과 같은 결론을 얻었다.

1. 0.1 M H_2SO_4 용액에서 Fe-38Al-6Cr의 분극거동에 미치는 합금원소의 영향을 조사한 결과 내식성은 Fe-38Al가 가장 낮고 Fe-38Al-Mo가 가장 우수한 특성을 보였다.

2. 0.1 M HCl용액에서 Fe-38Al-6Cr의 공식거동에 미치는 합금원소의 영향을 조사한 결과 내공식성은 Fe-38Al-6Cr-1.0Nb와 Fe-38Al-6Cr-1.0B가 가장 낮고 Fe-38Al-Mo가 가장 우수하다.

3. 현미경에 의한 부식후 표면관찰에서 Mo첨가된 경우에도 펫트가 DO_3 구조인 Fe_3Al 에 비해 펫트의 수와 크기가 증가하여 B2구조가 Cl^- 을 함유한 분

위기에서도 약하다. Mo가 첨가는 핏트수와 크기가 크게 감소되고 Nb 및 B는 증가된다.

참고문헌

1. B. Schmidt, P. N. Nagpal, I. Baker, *In High Temperature Ordered Intermetallic Alloys III*, MRS Symposia proceedings, MRS, 133 (1989) 755.
2. J. H. DeVan, *In Oxidation of High Temperature Intermetallics*, TMS, (1989).
3. P. F. Tortorelli, J. H. DeVan, Mater. Sci. & Eng., A153 (1992) 573.
4. C. G McKamey, J. A. Horton, C. T. Liu, Scr. Metall., 22 (1988) 1679.
5. C. G McKamey, J. A. Horton, C. T. Liu, J. Mater. Res., 4 (1989) 1156.
6. J. R. Knibole, R. N. Wright, Mater. Sci. & Eng., A153 (1992) 382.
7. D. M. Dimiduk, M. G. Mendiratta, D. Banerjee, H. A. Lipsitt, Acta Metall., 36 (1988) 2947.
8. P. J. Maziasz, C. G. McKamey, Matr. Sci. and Eng., 152 (1992) 322.
9. 崔漢喆, 崔奮川, 金官旼, 洪性吉, 日本材料と環境, 45 (1996) 122.
10. 崔漢喆, 崔奮川, 金官旼, 大韓金屬學會誌, 33 (1996) 1677.
11. H. C. Choe, H. S. Kim, D. C. Choi, K. H. Kim, J. of Matr. Sci., 32 (1997) 1221.
12. 崔漢喆, 崔奮川, 大韓金屬學會誌, 34 (1997) 468.
13. N. S. Stoloff, C. T. Liu, Intermetallics, 2 (1994) 75.
14. ASTM, Wear and Erosion, Metal Corrosion, Section 3, Vol.03.02, (1988) 97.
15. J. G. Kim, R. A. Buchanan, Corrosion, 50 (1994) 658.
16. M. Pourbaix, *Atlas of Electrochemical Equilibria in Aqueous*, (1974) 168.
17. 小若正倫, 금속의 부식손상과 방식기술, (1983) 299.
18. Z. Szklaska-Smialowska, *Pitting Corrosion of Metals*, NACE, (1986) 144.
19. 김관희, 최한철, 조용석, 한국부식학회지, 22 (1993) 183.
20. F. P. A. Robinson, W. G. Scurr, Corrsion, 33 (1977) 408.